



АКАДЕМИЯ НАУК СССР  
ОРДENA ЛЕНИНА СИБИРСКОЕ ОТДЕЛЕНИЕ  
ИНСТИТУТ ФИЗИКИ им.Л.В.КИРЕНСКОГО

ПРЕПРИНТ № 495Ф

СТЕРИЧЕСКИЕ ЭФФЕКТЫ ЗАМЕСТИТЕЛЕЙ В МЕЗОГЕНАХ  
И МОЛЕКУЛЯРНЫЕ АСПЕКТЫ ТЕРМОТРОПНОГО  
МЕЗОМОРФИЗМА

Часть III

Е.М.Аверьянов

Красноярск 1988.

Данный обзор написан по материалам доклада, прочитанного автором на Всесоюзном семинаре по химии и термодинамике жидких кристаллов. Проведено обсуждение и количественная интерпретация комплекса проявлений стерического эффекта латеральных и терминальных заместителей в изменении геометрических, конформационных, электронных, спектральных, полярных, электрооптических свойств мезогенных молекул и, соответственно, их мезоморфных свойств, что ведет к изменению фазовой диаграммы жидких кристаллов, температур фазовых переходов и интервалов существования отдельных термотропных фаз.

На основе анализа данных для нескольких сотен мезогенных соединений различных химических классов подтверждена универсальная зависимость температур фазовых переходов изотропная жидкость - нематик - смесь A от молекулярных конформационных параметров. Эта зависимость является следствием взаимодействия параметров порядка жидкокристаллических фаз с внутримолекулярными степенями свободы. Тем самым решена проблема стерического эффекта заместителей в сопряженных мезогенах, поставленная Вейгандом около 40 лет назад.

Обсуждается практическое использование стерического эффекта заместителей к компонентам жидкокристаллических смесей для получения композиций с рабочим интервалом нематической фазы от -50 до +100 °C, малой вязкостью, приемлемыми временами переключения при отрицательных температурах и хорошими мультиплексными характеристиками.

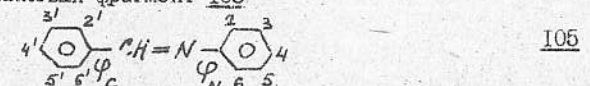
© Институт физики им. Л. В. Киренского СО АН СССР

## 7. СТЕРИЧЕСКИЕ ЭФФЕКТЫ ЗАМЕСТИТЕЛЕЙ В АЗОМЕТИНАХ

В отличие от рассмотренных выше соединений конформационное состояние азометинового фрагмента существенно зависит не только от стерического эффекта латеральных заместителей в орто-положениях анилинового кольца или  $\alpha$ -положении мостикового фрагмента, но также от мезомерного влияния мета- и особенно пара-заместителей того или другого кольца на электронную систему азометинового фрагмента [127]. Это приводит к таким важным особенностям азометинов, как стерическим эффектам терминальных заместителей и сильному взаимодействию конформационных степеней свободы, которое нетривиальным образом проявляется в изменении термостабильности мезофаз. Перейдем к последовательному анализу этих аспектов.

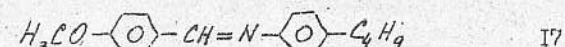
### 7.1. Конформация и электронная структура производных азометинов

#### Бензилиденанилиновый фрагмент 105



имеет две актуальные степени свободы, связанные с относительным поворотом бензилиденового и анилинового колец относительно плоскости азометинового мостика и характеризуемые соответственно двугранными углами  $\varphi_c$  и  $\varphi_n$ , из которых первый мал и слабо чувствителен к электронным эффектам заместителей в 2-6' или 2-6 положениях. Наибольший интерес представляет угол  $\varphi_n$ , значение которого определяется компромиссом трех факторов: стерическим и дисперсионным взаимодействиями атома H (или заместителя X) в  $\alpha$ -положении с орто-атомами заместителей в 2 или 6 положениях анилинового кольца;  $\pi$ -электронным сопряжением азометинового мостика и анилинового кольца;  $\pi\pi^*$ -сопряжением неподеленной пары электронов азота с  $\pi$ -электронами анилинового кольца. Последние два фактора приводят к сильной зависимости  $\varphi_n$  от природы и положения заместителей в бензольных кольцах.

Расширенным методом определения  $\varphi_n$  в замещенных соединениях 105 является спектр скопления электронного поглощения. Наиболее последовательный квантово-механический расчет электронных спектров 105 и МВА (17),



проведенный в работе [128], показывает, что спектральные характеристики наиболее длинноволнового  $\pi-\pi^*$  электронного перехода и более коротковолнового  $n-\pi^*$  перехода в этих соединениях зависят от угла

$\varphi_N$ . Причем возрастание  $\varphi_N$  от 0 до  $90^\circ$  приводит к слабому длинноволновому (105) или коротковолновому (МВВА) смещению полосы  $\pi-\pi^*$  с сильным уменьшением интенсивности, хорошо подчиняющимся соотношению (17), или соотношению [54, 64, 71]

$$\varepsilon_{\pi\pi^*} = \varepsilon_0 \cdot \cos^2 \varphi_N \quad (33)$$

для молярного коэффициента экстинкции  $\varepsilon$ . При этом в обоих соединениях полоса  $\pi-\pi^*$  более сильно смещается в коротковолновую область и значительно возрастает по интенсивности согласно

$$\varepsilon_{\pi\pi^*} = \varepsilon_1 \cdot \sin^2 \varphi_N, \quad (34)$$

так что  $\varepsilon_0 \varepsilon_1$  суммарная интенсивность полос обсуждаемого дублета приближенно сохраняется. При  $\varphi_N = 0$  и  $90^\circ$  длинноволновая полоса дублета и более коротковолновая полоса имеют соответственно чистую  $\pi-\pi^*$  и  $\pi-\pi^*$  природу. При  $0 < \varphi_N < 90^\circ$  эти переходы сильно взаимодействуют и полосы имеют смешанный характер, хотя обе поляризованы вдоль длиной оси молекулы. Таким образом, по относительной интенсивности полос дублета или абсолютной интенсивности длинноволновой полосы (при соответствующей нормировке) можно исследовать изменение угла  $\varphi_N$  при изменении фазового состояния [128] или за счет стерического эффекта заместителей в орто-положении анилинового кольца.

В последнем случае следует учитывать возмущение электронной структуры кольца заместителем и вызванное этим изменение угла  $\varphi_N$  и коэффициента экстинкции полосы. Из двух выражений типа (33), записанных для паро-орто-положений одного и того же заместителя в анилиновом кольце,

$$\varepsilon_{\text{ortho}} = \varepsilon_0 \cdot \cos^2 \varphi_N, \quad \varepsilon_{\text{para}} = \varepsilon_0 \cdot \cos^2 \varphi_{NP} \quad (35)$$

получаем, исключив  $\varepsilon_0$ , следующее широко используемое соотношение [129, 132]

$$\cos^2 \varphi_N = \cos^2 \varphi_{NP} \cdot \varepsilon_{\text{ortho}} / \varepsilon_{\text{para}}. \quad (36)$$

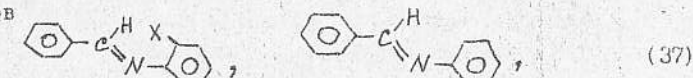
Стерический эффект заместителей в 1, 2 или 6 положениях соединения 105 зависит от характера заместителей в положениях 4, 4' и силы их донорно-акцепторных свойств.

#### 7.1.1. Орто-замещение анилинового кольца

Число представлены значения  $\varphi_N$  для моно- и ди-ортозамещенных производных 105, найденные по (36) из спектральных данных [130] с фиксированным значением  $\varphi_{NP} = 57^\circ$  (см. ниже) для всех 4-галоген-замещенных 105 в отличие от значения  $\varphi_{NP} = 30^\circ$ , принятого в работе [130] на основе данных теоретического расчета.

положен. замест.	$\varphi_N^\circ$	положен. замест.	$\varphi_N^\circ$
2-F	60	2-Cl	69,4
2-Cl	63,8	2,6-Cl <sub>2</sub>	75,2
2-Br	66,7	2,6-Br <sub>2</sub>	78,2

отсюда видно, что в отличие от бифенилов, одиночное орто-замещение анилинового кольца приводит к незначительному изменению угла  $\varphi_N \Delta 57^\circ$  незамещенной молекулы, что связано с возможностью существования двух конформеров



из которых во втором стерический эффект заместителя исключен. Получаемые из эксперимента эффективные значения  $\varepsilon$  содержат вклады от обоих конформеров, т.к. из-за большой ширины соответствующие этим конформерам полосы  $\pi-\pi^*$  переходов неразрешимы. О малой концентрации конформеров первого типа свидетельствует и близость значений  $\Delta T_{\text{m.p.}}$  (H-X) для соединения 26 к среднему значению  $\Delta T_{\text{m.p.}}$  (H-X).

При двукратном 2,6-замещении наблюдается значительное возрастание эффективного угла  $\varphi_N$  в результате исключения конформеров второго типа. Отметим близость углов  $\varphi_N$  в замещенных 105 и  $\varphi$  в бифенилах (Таблица I) при 2- или 2,6-замещении хлором и бромом, которые слабо влияют на  $\varphi_N$  при их 4- или 4'-положении в 105 (см. ниже). Это свидетельствует об определяющей роли стерических и невалентных дисперсионных взаимодействий Н с 2-Cl или 2-Br в стабилизации оптимальной конформации молекулы при больших углах  $\varphi_N$ ,  $\varphi$ .

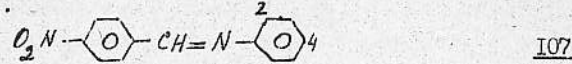
Аналогичное рассмотренному здесь различие эффективных углов  $\varphi_N$ , найденных по (36), наблюдается при сравнении 2- и 2,6-замещенных соединений 106 [132].

106					
X <sub>2</sub>	X <sub>6</sub>	$\varphi_N^\circ$	X <sub>2</sub>	X <sub>6</sub>	$\varphi_N^\circ$
H	H	40,5	CH <sub>3</sub>	CH <sub>3</sub>	69
CH <sub>3</sub>	H	47,5	CH <sub>3</sub>	C <sub>2</sub> H <sub>5</sub>	69
C <sub>2</sub> H <sub>5</sub>	H	48,5	C <sub>2</sub> H <sub>5</sub>	C <sub>2</sub> H <sub>5</sub>	70
и-C <sub>3</sub> H <sub>7</sub>	H	50	и-C <sub>3</sub> H <sub>7</sub>	и-C <sub>3</sub> H <sub>7</sub>	70,5
трет-C <sub>4</sub> H <sub>9</sub>	H	52,5			

Здесь 2-X-замещение приводит к незначительному изменению  $\varphi_N$ , тогда как 2,6-(X)<sub>2</sub>-замещение резко увеличивает акопланарность фрагментов. Слабое изменение  $\varphi_N$  с ростом объема заместителя наблюдается как при однократном, так и при двукратном замещении.

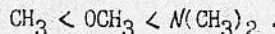
Двукратные 2,3-(CH<sub>3</sub>)<sub>2</sub>- и 2,5-(CH<sub>3</sub>)<sub>2</sub>-замещения 106 приводят к одинаковым значениям угла  $\varphi_N = 47,5^\circ$  [131], совпадающим со случаем 2-CH<sub>3</sub>-замещения. Это говорит об эквивалентности позиций 3 и 5 и отсутствии влияния заместителя CH<sub>3</sub> в этих позициях на угол  $\varphi_N$  в 106. Это подтверждается снижением  $\varphi_N$  от 47,5° до 41° при переводе заместителя из положения 2 в положение 3 [131]. Последнее значение  $\varphi_N$  совпадает с тем же в незамещенной молекуле 106.

Величина стерического эффекта одного и того же орто-заместителя существенно зависит от типа заместителей в 4,4'-положениях 105 и силы их донорно-акцепторных свойств. Это видно на примере соединения 107 с  $X_6 = n$  [132].



$X_2$	$X_4$	$\varphi_N^\circ$	$X_2$	$X_4$	$\varphi_N^\circ$
H	$N(CH_3)_2$	0	H	Br	28
CH <sub>3</sub>	$N(CH_3)_2$	19,5	CH <sub>3</sub>	Br	44
H	OCH <sub>3</sub>	25,5	d	Cl	32,5
CH <sub>3</sub>	OCH <sub>3</sub>	35,5	CH <sub>3</sub>	Cl	43,5
H	CH <sub>3</sub>	36			
CH <sub>3</sub>	CH <sub>3</sub>	43			

С ростом силы донора  $X_4$  относительное изменение  $\varphi_N$  увеличивается в той же последовательности



Эта закономерность выполняется и для 2,4,6-замещенных соединений 107 [132].

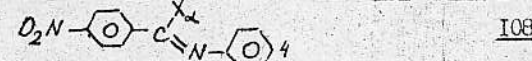
$X_2$	$X_4$	$X_6$	$\varphi_N^\circ$
H	$N(CH_3)_2$	H	0
CH <sub>3</sub>	$N(CH_3)_2$	CH <sub>3</sub>	54
H	Br	H	28
CH <sub>3</sub>	Br	CH <sub>3</sub>	66,5
H	CH <sub>3</sub>	H	36
CH <sub>3</sub>	CH <sub>3</sub>	CH <sub>3</sub>	66,5

Здесь  $\varphi_N$  значительно возрастает по сравнению с 2,4-замещением. Меньшие значения  $\varphi_N$  для более сильных  $X_4$ -доноров приводят к более сильному влиянию стерического эффекта 2- или 2,6-заместителей на интенсивность  $\pi-\pi^*$  полос и, соответственно, анизотropию поляризуемости  $\Delta\chi$  молекулы.

-6-

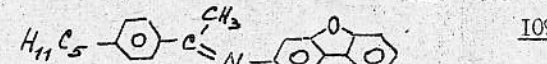
### 7.1.2. $\alpha$ -замещение азометинового мостика

При введении заместителя X в  $\alpha$ -положение азометинового мостика наблюдается такое же изменение угла  $\varphi_N$ , как при двукратном замещении 2,6-(X)<sub>2</sub>. Это видно из сравнения соединений 107 и 108 [131, 132].



$X_2$	$X_4$	$\varphi_N^\circ$
CH <sub>3</sub>	$N(CH_3)_2$	56,5
CH <sub>3</sub>	OCH <sub>3</sub>	64,5
CH <sub>3</sub>	CH <sub>3</sub>	66
CH <sub>3</sub>	Cl	65,5

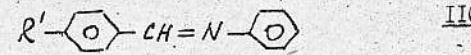
Отметим здесь слабую зависимость  $\varphi_N$  при  $\alpha$ -замещении от силы донора в 4-положении, что следует также из сравнения 108 и 109 [133],



для которого  $\varphi_N = 68^\circ$ . Это вызывает на предпочтительность количественной интерпретации стерического эффекта одиночного заместителя в  $\alpha$ -положении в сравнении с 2- или 6-положениями анилинового кольца.

### 7.1.3. Влияние электронных свойств терминальных заместителей на конформацию бензилиденанилинового фрагмента

Согласно расчетным [134], спектроскопическим [127, 131, 132, 135-138], радиоспектроскопическим (ЭПР) [139] и другим экспериментальным данным вариация терминального заместителя в том или другом фенильном кольце молекулы 105 меняет угол  $\varphi_N$ . Электронодонорные заместители в альдегидном кольце увеличивают угол  $\varphi_N$ , электроноакцепторные - уменьшают. Для тех же заместителей в анилиновом кольце наблюдается обратная картина. Ниже приведены наиболее точные данные по  $\varphi_N$ , полученные методом ЭПР [139] для соединений 110 и 111.

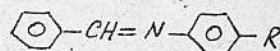


$R'$	$N(C_2H_5)_2$	$N(CH_3)_2$	OCH <sub>3</sub>	H	Cl	Br	$\Sigma$	$NO_2$
$\varphi_N^\circ$	62	62	60	57	58	57	55	45

Для  $R' = NO_2$  приведенное значение  $\varphi_N$  согласуется с найденным спектроскопическим методом  $\varphi_N = 41^\circ$  для незамещенного соединения 106. Отметим для 110 отсутствие влияния галогенов  $R'$  на  $\varphi_N$  и слабое влияние доноров  $R'$  на изменение  $\varphi_N$ .

Гораздо более сильное влияние заместителей на  $\varphi_N$  наблюдается

для соединений III.

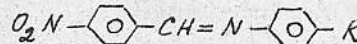


III

$R$	$N(\text{C}_2\text{H}_5)_2$	$N(\text{CH}_3)_2$	$\text{OCH}_3$	$\text{OC}_2\text{H}_5$	$\text{CH}_3$	$H$	$\text{Cl}$	$\text{Br}$	$\text{COOCH}_3$	$N_2$	
$\varphi^\circ$	0	3	29	30	41	57	55	61	63	71	82

Как и в IIQ, здесь наблюдается слабое влияние галогенов на угол  $\varphi_N$ . Однако амплитуда изменения  $\varphi_N$  в зависимости от силы донора  $R$ , а также при переходе от сильных доноров к сильным акцепторам здесь гораздо болеи, чем в IIQ.

Полярное сопряжение акцептора  $R'_4$  с донором  $R_4$  в I05 уменьшает  $\varphi_N$  в сравнении с одиночным замещением в IIQ, III. Это видно из сравнения данных по  $\varphi_N$  для IIQ, III и II2 [132].



II2

$R$	$N(\text{CH}_3)_2$	$\text{OCH}_3$	$\text{Cl}$	$\text{Br}$	$\text{CH}_3$	$\text{C}_2\text{H}_5$	$\text{C}_3\text{H}_7$	$\text{C}_4\text{H}_9$	$H$
$\varphi^\circ$	0	25,5	32,5	28	36	36,5	38	39	40,5

Здесь значения  $\varphi_N$  для соответствующих заместителей  $R$  значительно ниже (кроме сильных доноров  $N(\text{CH}_3)_2$  и  $\text{OCH}_3$ ), чем для III при отсутствии полярного сопряжения заместителей.

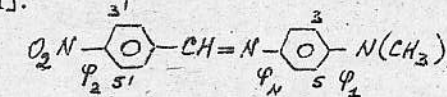
В случае донора  $R'_4$  и акцептора  $R_4$  в I05 следует ожидать более высоких значий  $\varphi_N$ , чем в случае однократно-замещенных соединений IIQ, III. Наконец, при обоих донорных или акцепторных заместителях в 4,4'-положениях изменение  $\varphi_N$  определяется частичной взаимной компенсацией влияния каждого заместителя на  $\varphi_N$ . Пример этого дает сравнение  $\varphi_N$  для соединений IIQ, III и MBVA (I7), для которого в изотропной фазе угол  $\varphi_N=52-56^\circ$  [19, 20, 128], что ниже, чем в метокси-производном IIQ, но выше, чем в метил-производном III.

#### 7.1.4. Взаимодействие конформационных степеней свободы в азометинах

Высокая чувствительность  $\varphi_N$  к силе донорно-акцепторных свойств терминальных заместителей в I05 приводит к зависимости  $\varphi_N$  от степени сопряжения этих заместителей с фенильными кольцами. Здесь возможны два случая.

В первом случае терминальный заместитель непосредственно связан с кольцом и имеет разветвленную структуру типа  $\text{NO}_2$ ,  $\text{NH}_2$ ,  $N(\text{CH}_3)_2$ ,  $\text{COOH}$ ,  $\text{COOC}_2\text{H}_5$  и т.п. Новая конформационная степень свободы, связанная с поворотом плоскости терминального заместителя относительно плоскости сопряженного с ним фенильного кольца вокруг соединяющей их

связи, характеризуется углом  $\varphi_1$ . Изменение последнего в результате стерического эффекта латерального заместителя  $X$ , введенного в положения 3 или (и) 5, приводит к изменению степени сопряжения терминального заместителя с кольцом и соответствующему изменению угла  $\varphi_N$ . Таким образом, прямой стерический эффект латерального заместителя  $X$  приводит к косвенному стерическому эффекту заместителя - изменению угла  $\varphi_N$  в другом фрагменте молекулы. Такое взаимодействие конформационных степеней свободы можно проиллюстрировать на примере соединения II3 [131].



II3

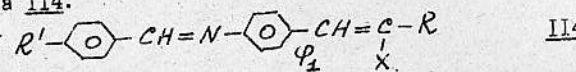
$X_3$	$X_5$	$X_3'$	$X_5'$	$\varphi_N^\circ$	$\varphi_1^\circ$	$\varphi_2^\circ$
H	H	H	H	0	0	0
$\text{CH}_3$	H	H	H	35,5	50	0
$\text{CH}_3$	$\text{CH}_3$	H	H	47	68	0
H	H	$\text{CH}_3$	H	15	0	34
H	H	$\text{CH}_3$	$\text{CH}_3$	15	0	66
$\text{CH}_3$	$\text{CH}_3$	$\text{CH}_3$	$\text{CH}_3$	48,5	68	66

Здесь также приведены значения  $\varphi_{1,2}$  для замещенных нитробензола и  $NN$ -диметилилимина [64, 71]. Исходная конформация латерально-незамещенного соединения II3 плоская. Изменение  $\varphi_2$  при  $X_3'$ - или  $X_5'$ -замещении оказывает слабое влияние на  $\varphi_N$ , причем введение дополнительного заместителя при двукратном 3',5'-замещении и увеличение  $\varphi_2$  не приводит к изменению  $\varphi_N$ . Это согласуется со слабым влиянием заместителей в IIQ на угол  $\varphi_N$ .

При изменении  $\varphi_1$  наблюдается более сильное взаимодействие конформационных степеней свободы в II3. Значительное возрастание угла  $\varphi_N$  происходит как при однократном  $X_3$ -замещении, так и при дополнительном введении второго заместителя в положение 5. Значение  $\varphi_N=47^\circ$  в последнем случае хорошо согласуется с величиной  $\varphi_N=45^\circ$  для  $R=\text{NO}_2$ -замещенного соединения IIQ в отсутствие фрагмента  $N(\text{CH}_3)_2$ . Дополнительное введение заместителей в положения 3' и 5' слabo увеличивает  $\varphi_N$ , величина которого приближается к значению  $\varphi_N=57^\circ$  для незамещенного бензилиденамилина. Отметим, что некоторая неопределенность абсолютных значений  $\varphi_N$  для II3 связана с эффективным смыслом этого угла, определяемого по интенсивности длинноволновой полосы поглощения и отражающей в определенной степени изменение конформации всех трех связанных сопряженiem фрагментов.

Во втором случае терминальный заместитель  $R$  связан с альдегид-

ним или анилиновым кольцом через мостиковую группу, передающую сопряжение, например,  $\text{CH}=\text{CH}$ . Как ясно из проведенного выше рассмотрения, интересует терминальное замещение анилинового кольца в молекуле типа II4.



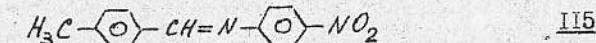
Здесь при  $X=\text{H}$   $\varphi_1=0$ . Прямой стерический эффект заместителя  $X$  в мостиковом фрагменте увеличивает угол  $\varphi_1$  и уменьшает сопряжение  $\text{R}$  с кольцом. В случае донорного (акцепторного) заместителя  $\text{R}$  это должно привести к увеличению (уменьшению) угла  $\varphi_N$  — косвенному стерическому эффекту заместителя  $X$ . При донорном заместителе  $\text{R}$  прямой и косвенный стерические эффекты заместителя  $X$  уменьшают сопряжение фрагментов молекулы и анизотропию поляризуемости. При акцепторном заместителе  $\text{R}$  уменьшение сопряжения  $\text{R}$  с кольцом за счет прямого стерического эффекта заместителя  $X$  может компенсироваться увеличением сопряжения фрагментов бензилиденового остова за счет косвенного стерического эффекта  $X$ . Амплитуда изменения угла  $\varphi_N$  и анизотропии поляризуемости за счет косвенного стерического эффекта определяется типом заместителя  $\text{R}'$  и силой его донорно-акцепторных свойств. Ниже будут рассмотрены примеры влияния обсуждаемого взаимодействия конформационных степеней свободы на термостабильность нематических и смектической А фаз в мезогенных производных азометинов, содержащих фрагмент II4 с акцепторной группой  $\text{R}$ .

## 7.2. Конформация азометинов в конденсированном состоянии

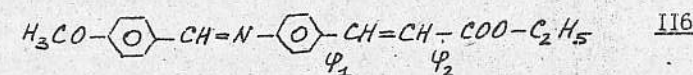
Отличительной особенностью незамещенного бензилиденанилина в сравнении с бифенилом или стилембеном является соотношение барьеров  $\mathcal{U}_0(\varphi=0)$  и  $\mathcal{U}_1(\varphi=\pi/2)$  переориентации анилинового кольца. Результаты квантово-химических, молекулярно-динамических и полуэмпирических расчетов показывают [128, 134, 140–142], что для свободной молекулы бензилиденанилина минимум потенциальной энергии молекулы  $\mathcal{U}(\varphi_N)$  соответствует  $\varphi_{N0}=45\text{--}60^\circ$ , причем  $\mathcal{U}(\pi/2)-\mathcal{U}(\varphi_{N0})=\mathcal{U}_1 < 1 \text{ ккал/моль}$  и  $\mathcal{U}_1 \ll \mathcal{U}_0$ . Это подтверждается результатами исследования бензилиденанилина в газовой фазе методом дифракции электронов с последующим моделированием зависимости  $\mathcal{U}(\varphi_N)$  [143], что дает  $\varphi_{N0}=52\text{--}55^\circ$  и  $\varphi_c=0\pm15^\circ$ .

Пологий минимум  $\mathcal{U}(\varphi_N)$  в окрестности  $\varphi=\varphi_{N0}$ , малая величина  $\mathcal{U}_1$  и асимметричный характер зависимости  $\mathcal{U}(\varphi)$  для  $\varphi \geq \varphi_{N0}$  приводят к высокой чувствительности конформации азометинов к межмолекулярным взаимодействиям в конденсированной фазе, или взаимосогласованности над- и внутримолекулярных структур.

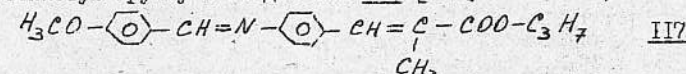
В кристаллическом состоянии немезогенных и мезогенных азометинов это приводит к возможности существования нескольких стабильных или метастабильных полиморфных модификаций, отличающихся конформацией молекул (конформационный полиморфизм), или наличию нескольких типов конформеров в одной полиморфной модификации (контактная конформерия) [90]. Причем в том и другом случаях влияние межмолекулярных корреляций на конформацию молекулы оказывается более сильным, чем влияние электронных свойств терминальных фрагментов. Так в кристаллической фазе незамещенного бензилиденанилина II5  $\varphi_N=55,2^\circ$  и  $\varphi_c=-10,3^\circ$ , а для соединения II5



с сильным акцепторным заместителем в анилиновом кольце  $\varphi_N=50,2^\circ$  и  $\varphi_c=-8,1^\circ$  [144], хотя на основании приведенных выше данных для III в случае II5 следовало ожидать более высоких значений  $\varphi_N$ , чем для II5. Аналогичные примеры можно найти среди мезогенных соединений. Незамещенная молекула II6 [145]

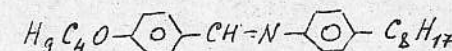
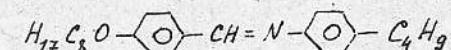


в кристаллической фазе имеет почти плоскую конформацию с углами  $\varphi_c=3,0^\circ$ ,  $\varphi_N=-8,7^\circ$ ,  $\varphi_1=5,1^\circ$ ,  $\varphi_2=178,3^\circ$ , тогда как введение заместителя в мостиковую группу в соединении II7 [146]



сопровождается увеличением обоих углов  $\varphi_N=-36,1^\circ$  и  $\varphi_1=20,8^\circ$  и слабым уменьшением  $\varphi_2=172,6^\circ$ . На основании косвенного стерического эффекта заместителя  $\text{CH}_3$  в изолированной молекуле II7 следовало ожидать уменьшения  $\varphi_N$  с ростом  $\varphi_1$ .

Высокая чувствительность конформации ароматического остова азометинов к межмолекулярным корреляциям обуславливает и сильную зависимость конформации остова от длины концевых цепей, влияющих на эти корреляции. При одинаковой полной длине цепей и неизменных донорно-акцепторных свойствах терминальных фрагментов в соединениях [147]



молекулы первого из них в кристаллической фазе почти плоские ( $\varphi_c=$

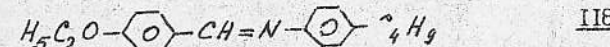
$\varphi_N = 0,2^\circ$ ) с углом между бензольными кольцами  $\theta = 2,2^\circ$ , тогда как для двух разных молекул в кристаллической модификации второго из этих соединений  $\varphi_1 = 13,3^\circ$  и  $\varphi_2 = 29,2^\circ$ .

В частично-упорядоченных фазах отмеченные выше особенности функции  $\mathcal{U}(\varphi_N)$  приводят к возможности самозахвата конформеров за счет незначительной перестройки локального координационного окружения молекулы с измененной конформацией и дальнейшим развитием кооперативного процесса взаимосвязанного изменения внутри- и надмолекулярной структуры конденсированного состояния в большом объеме образца. Кооперативный процесс перестройки структуры обусловлен близкодействующим характером межмолекулярных сил в мезофазе и отсутствием глубоких минимумов суммарной энергии  $E(\varphi_N)$  внутри- и межмолекулярных взаимодействий, характерных для кристаллической фазы. Этим объясняется типичное для мезогенных азометинов большое разнообразие монтических фаз [148] и полиморфизм застеклованных быстрым охлаждением нематогенов типа МББА [149].

При изменении фазового состояния или упорядоченности молекул в пределах одной фазы изменяется число минимумов функции  $E(\varphi_N)$ , соответствующие им значения углов  $\varphi_{Nk}$ , а также форма зависимостей  $E(\varphi_N)$  в окрестности минимумов. Все это осложняет получение корректной информации о  $\mathcal{U}(\varphi_N)$  в конденсированной фазе из экспериментальных данных УФ, ИК, КРС, ЯМР и других методов. Предпринятая в работе [128] попытка восстановления зависимости  $\mathcal{U}(\varphi_N)$  для МББА с использованием данных этих методов в разных фазовых состояниях, характеризующих различными значениями  $\varphi_N$ , привела к эффективной функции  $\mathcal{U}(\varphi_N)$  с числом локальных минимумов в интервале  $45^\circ \leq \varphi_N < 90^\circ$ , соответствующим числу принятых во внимание фаз. Эвристическое значение такой процедуры ограничено необходимостью наличия априорной информации об известных фазовых состояниях объекта и соответствующих им углах  $\varphi_N$ .

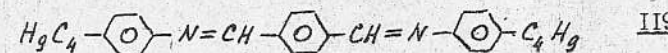
В нематической и смектической А фазах относительно свободное вращение молекул вокруг продольной оси ослабляет роль поперечных межмолекулярных корреляций в формировании дискретных минимумов функции  $E(\varphi_N)$  и соответствующих стабильных конформеров с локальным изменением структуры. Поэтому здесь механизм изменения конформации молекул обусловлен сопутствующим изменением энергии универсальных Ван-дер-Ваальсовых взаимодействий. Поскольку анизотропная часть последней определяется средним значением  $\bar{\gamma}$  и анизотропией  $\Delta\gamma$  молекулярной поляризуемости, возрастающими с уменьшением угла  $\varphi_N$  (пл. 2.1 и 3.1), то с увеличением степени упорядоченности нематической фазы и при фа-

зовом переходе  $N-S_A$  следует ожидать уменьшения угла  $\varphi_N$  в производных азометинов. Это подтверждается данными различных модификаций метода ЯМР [20, 21, 150-152]. В МББА угол  $\varphi_N$  изменяется при переходе I-N от  $55^\circ$  до  $52^\circ$  [19] и затем уменьшается с ростом  $S$  до  $38^\circ$  при  $\Delta T = T_c - T = 25^\circ$  [20, 150]. Близкое значение  $\varphi_N \approx 43^\circ$  наблюдается в нематической фазе соединения II8 [152],



т.е. для обоих этих соединений изменение упорядоченности молекул и выигрыш в энергии межмолекулярных взаимодействий является более сильным фактором изменения  $\varphi_N$ , чем электронные эффекты терминальных заместителей для изолированной молекулы или молекулы в изотропном растворителе (п. 7.1.3).

Для изолированной молекулы соединения II9



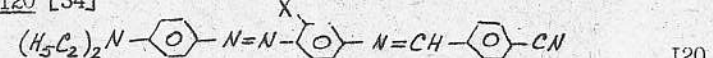
расчет [153] дает функцию  $\mathcal{U}(\varphi_N)$  с пологим минимумом при  $\varphi_N \approx 50-80^\circ$  и барьером  $\mathcal{U} \approx 0,5$  ккал/моль. Согласно данным ЯМР [21], в нематической, смектической А и смектической С фазах среднее значение угла  $\varphi_N$  равно, соответственно,  $75^\circ$ ,  $60^\circ$  и  $45^\circ$ , т.е. фазовые переходы I-N-S<sub>A</sub>-S<sub>C</sub> сопровождаются уменьшением  $\varphi_N$ . Это указывает на взаимодействие параметров порядка этих фаз с обсуждаемой конформационной степенью свободы азометинов и наличие зависимости (26) температур переходов от конформации молекул.

### 7.3. Влияние латеральных заместителей на термостабильность нематической фазы азометинов

Рассмотренная выше высокая чувствительность конформации азометинов к межмолекулярным взаимодействиям и эффектам плотной упаковки приводит к особенностям проявления геометрического и стерического эффектов латеральных заместителей в этих объектах.

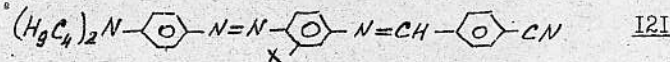
#### 7.3.1. Геометрический эффект латеральных и $\alpha$ -заместителей

Замещение центрального бензольного кольца в полярном соединении II0 [34]



X	K	N	I	$\Delta T_{NI}(H-X)$
H	.	211	.	255
CH <sub>3</sub>	.	151,3	(III,3)	147,7

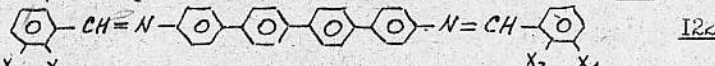
приводит к очень большому снижению  $T_{N\Gamma}$  в сравнении со средним значением  $\Delta T_{N\Gamma}(H-X)$  для рассмотренных выше типичных трехкольчевых неполярных соединений и полярных соединений 79, 88 и 91. Однако геометрический эффект того же заместителя в соединении 121 [34],



X	K	N	I	$\Delta T_{N\Gamma}(H-X)$
H	.	72	.	175
CH <sub>3</sub>	.	54	.	125

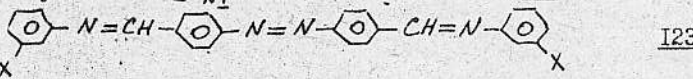
незначительно отличающимся от 119, приводит к величине  $\Delta T_{N\Gamma}(H-X)$ , близкой к среднему значению  $\Delta T_{N\Gamma}(H-X)$ .

Замещение терминальных бензольных колец соединения 122 [34]



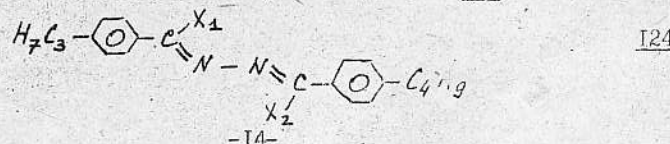
X <sub>1</sub>	X <sub>2</sub>	K	N	I	$\Delta T_{N\Gamma}(H-X)$
H	H	.	249	.	>360
CH <sub>3</sub>	H	.	200	.	>360
Br	H	.	203	.	242
H	C <sup>+</sup>	.	164	.	170

группа  $\text{t}-\text{CH}_3$  не изменяет  $T_{N\Gamma}$ , но приводит к большим величинам  $\Delta T_{N\Gamma}(H-X)$ , превышающим на каждый из заместителей Cl и Br, причем соотношение этих величин для трех заместителей не коррелирует с диаметрами замещенных молекул (рис. I). Если здесь замена X=CH<sub>3</sub> на Cl приводит к увеличению  $\Delta T_{N\Gamma}(H-X)$ , то в соединении 123 [34]



X	K	S <sub>A</sub>	N	I	$\Delta T_{N\Gamma}(H-X)$
H	.	218	.	288	305
Cl	.	208	-	.	222
CH <sub>3</sub>	.	157	-	.	162

ситуация противоположная. Аномалии изменения  $T_{N\Gamma}$  наблюдаются и при  $\alpha$ -замещении азометинов. Замещение соединения 124 [34]



-14-

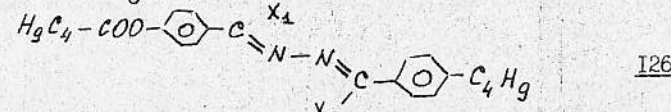
X <sub>1</sub>	X <sub>2</sub>	K	N	I	$\Delta T_{N\Gamma}(H-X)$
H	H	.	37	.	95
CH <sub>3</sub>	H	.	39	.	76
H	CH <sub>3</sub>	.	44	.	77

в  $\alpha$ - или  $\alpha'$ -положениях приводит к незначительному по сравнению с 120-123 уменьшению  $T_{N\Gamma}$ , хотя длина молекулы 124 меньше, чем, например, молекулы 122, и следовало бы ожидать увеличения  $\Delta T_{N\Gamma}(H-X)$ .

Для  $\alpha$ -замещенных азометинов в отличие от 26 не выполняется аддитивность геометрических эффектов заместителей, что видно на примере соединений 125 и 126 [34].



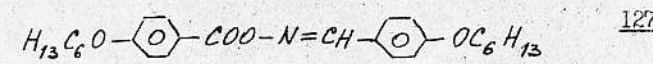
X	K	N	I	$\Delta T_{N\Gamma}(H-X)$
H	.	50,5	.	69,9
CH <sub>3</sub>	.	53	.	67



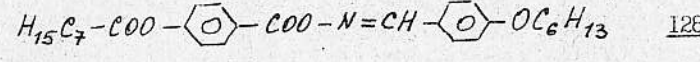
X <sub>1</sub>	X <sub>2</sub>	K	N	I	$\Delta T_{N\Gamma}(H-X)$
H	H	.	142,5	.	158,4
CH <sub>3</sub>	CH <sub>3</sub>	.	100,2	.	135,9

Введение второго заместителя в 125 практически не изменяет  $T_{N\Gamma}$ , а двукратное замещение 126 дает величину  $\Delta T_{N\Gamma}(H-X)$ , сравнимую с той же для однократно-замещенного соединения 124.

Если в рассмотренных выше примерах  $\alpha$ -замещения температура  $T_{N\Gamma}$  уменьшалась, то на примере соединений 127 и 128 [34]

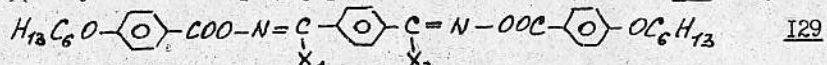


X	K	S <sub>C</sub>	N	I	$\Delta T_{N\Gamma}(H-X)$
H	.	70	(66)	.	120
CH <sub>3</sub>	.	80	-	.	124



X	K	S <sub>C</sub>	N	I	$\Delta T_{N\Gamma}(H-X)$
H	.	77	87	.	121
CH <sub>3</sub>	.	74	-	.	125

видно, что возможна и обратная ситуация с симметричным (127) или антибатным (128) изменением температур переходов  $K-N$  и  $N-I$ . Последний эффект усиливается при двукратном замещении соединения 129 [34].



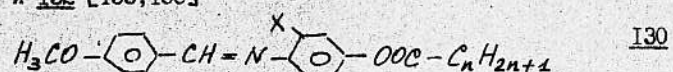
H	H	.	203	.	205	.
CH <sub>3</sub>	CH <sub>3</sub>	.	168	.	230	.

-30

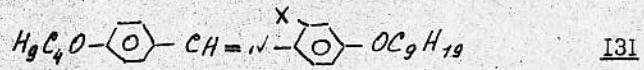
Таким образом в отличие от рассмотренных выше соединений других химических классов для азометинов характерно аномальное качественное и количественное проявление геометрического эффекта латеральных и  $\alpha$ -заместителей, что исключает корректный количественный анализ стericеского эффекта этих заместителей в азометинах.

### 7.3.2. Стерический эффект орто- и $\alpha$ -заместителей

При  $\sigma$ -замещении двух- и трех-кольчевых азометинов с терминальными гибкими цепями величина  $\Delta T_{NI}(H-X)$  снижается с ростом длины цепей, как и в гомологических рядах 52-54. Из сравнения соединений 130, 131 [34, 154] и 132 [155, 156]

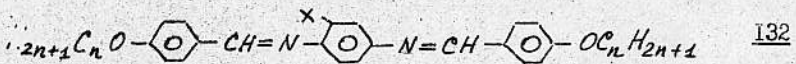


P	X	K	N	I	$\Delta T_{NI}(H-X)$
I	H	.	82	III	.
	CH <sub>3</sub>	.	75,5 (.	26,5 )	84,5
5	H	.	84,5	105,5	.
	CH <sub>3</sub>	.	48,5 (.	47 )	58,5
9	H	.	76	96	.
	CH <sub>3</sub>	.	62 (.	47,5 )	48,5



X	K	N	I	$\Delta T_{NI}(H-X)$
H	.	102	II3	.
CH <sub>3</sub>	.	62	64	.

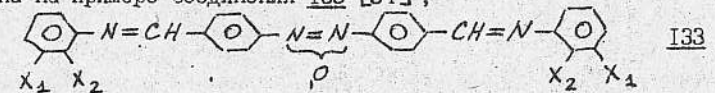
-49



P	X	K	S <sub>4</sub>	S <sub>3</sub>	S <sub>2</sub>	S <sub>1</sub>	N	I	$\Delta T_{NI}$
5	H	.	175	-	-	-	(. 171,5)	271	.
	C <sub>6</sub>	.	96,8	-	-	-	.	205	.
8	H	.	143	150	154	164	203	238	.
	C <sub>6</sub>	.	59	-	-	-	(. 56 )	179	59
	CH <sub>3</sub>	.	82	-	-	-	.	183	55
12	H	.	122	131	134	157	204	209	.
	C <sub>6</sub>	.	86,5	-	-	-	(. 131,5)	158	51
	CH <sub>3</sub>	.	80	-	-	-	.	113,5	159

видно, что с ростом длины цепей величина  $\Delta T_{NI}(H-X)$  для обоих заместителей CH<sub>3</sub> и C<sub>6</sub> приближается к предельному значению  $\approx 50^\circ$ , не зависящему от длины ароматического остова. Это характерно для вклада  $\Delta T_{CS}(H-X)$  стерического эффекта заместителей в изменение  $T_{NI}$  (п. 4.2-5). Отметим также, что переход от 130 (n=9) к 131 не изменяет предельного значения  $\Delta T_{NI}(H-X)$ , т.е. изменение  $T_{NI}$  более чувствительно к удлинению цепи, связанной с анилиновым кольцом.

Считая, что предельное значение  $\Delta T_{NI}(H-X) \approx 50^\circ$  целиком обусловлено стерическим эффектом заместителя, и используя значения  $\varphi_N = 57^\circ$  для незамещенных молекул 130-132 и  $\varphi_N \approx 65^\circ$  для обоих заместителей C<sub>6</sub> и CH<sub>3</sub> (п. 7.1.1), получаем нереально большое значение  $\Delta T_{NI}/\Delta Q = 422^\circ$  в сравнении с производными бифенила, стильбена, кирличных кислот. Сложность разделения вкладов геометрического и стерического эффектов заместителей в изменение  $T_{NI}$  для азометинов хорошо видна на примере соединения 133 [34],

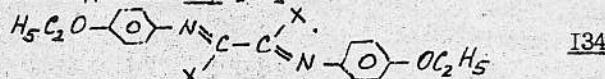


X <sub>1</sub>	X <sub>2</sub>	K	S <sub>C</sub>	S <sub>A</sub>	N	I	$\Delta T_{NI}(H-X)$
H	H	.	190	-	234	.	300
	C <sub>6</sub>	.	185	-	-	.	215
CH <sub>3</sub>	H	.	142 (.	120,6 )	167,7	.	169,8
	C <sub>6</sub>	.	168	-	-	.	223
H	CH <sub>3</sub>	.	185	-	-	.	219

где значения  $\Delta T_{NI}(H-X)$  для X<sub>1</sub>-замещения больше, чем для X<sub>2</sub>-замещения, хотя во втором случае уширение молекулы сопровождается и изменением конформации её фрагментов. Отметим, что приходящиеся на один X<sub>1</sub>-заместитель значения  $\Delta T_{NI}(H-X)$  здесь близки к средним величинам  $\Delta T_{CS}(H-X)$ . Вероятно, структурными единицами нематической фазы азометинов являются не отдельные молекулы, а их конгломераты с опреде-

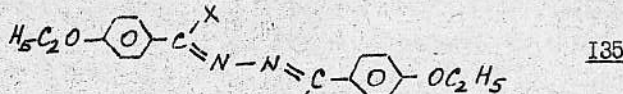
ленным дискретным набором возможных типов ближнего порядка, а проигрыш в энергии межмолекулярного взаимодействия за счет увеличения  $\varphi_N$  при стерическом эффекте латерального заместителя компенсируется выигрышем в энергии упаковки молекул в конгломерате за счет перестройки ближнего порядка. Существование таких конгломератов в мезофазе азометинов подтверждается спектральными исследованиями [157].

При  $\alpha$ -замещении азометинов изменение  $\varphi_N$  более определенное из-за наличия только одного типа конформеров (37) и слабой зависимости угла  $\varphi_N$  от природы терминальных заместителей (п.7.1.2). Двукратное замещение соединения 134 [34]



X	K	N	I	$\Delta T_{NI}$ (H-X)
H	.	150	162	.
CH <sub>3</sub>	.	III	II4	48

с двумя взаимодействующими степенями свободы приводит к увеличению каждого из углов  $\varphi_{1,2}$  от 30 до  $\approx 67^\circ$  (сравните 108, 109 и III). Считая фрагмент  $\text{N}=\text{CX}-\text{CX}=\text{N}$  плоским, будем аналогично случаю 62 описывать конформационное состояние острова 134 обобщенной координатой  $Q = Q_1 Q_2$ , 1,562 (X=H) и 0,023 (X=CH<sub>3</sub>). Корректную для 134 оценку величины  $\Delta T_{CS}$ (H-X) можно получить из рассмотрения соединения 135 [34].



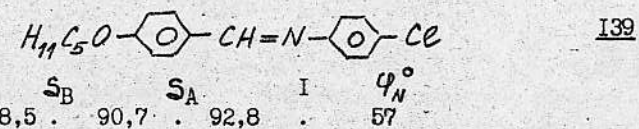
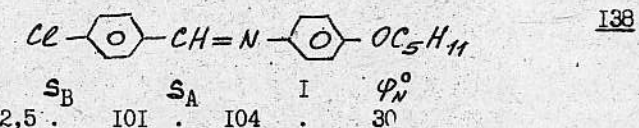
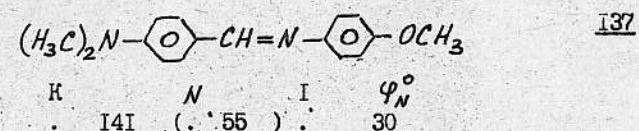
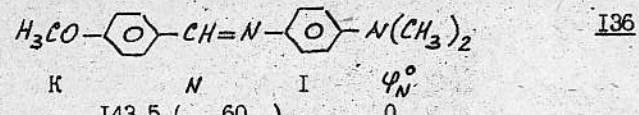
X	K	N	I	$\Delta T_{NI}$ (H-X)
H	.	173	197	.
CH <sub>3</sub>	.	142	163	34

Отсюда для 134 имеем  $\Delta T_{CS}$ (H-X)=14° и  $\Delta T_{CS}/\Delta Q = 26^\circ$ , что близко к соответствующим значениям для соединений 64-69 (рис.7).

#### 7.4. Стерический эффект терминальных заместителей в азометинах

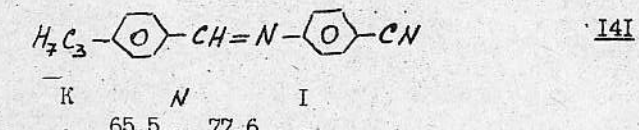
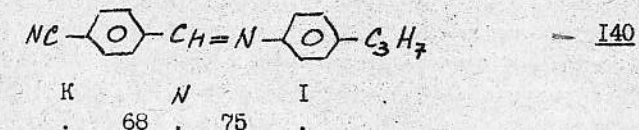
В случае терминальных заместителей малых размеров необходимость учета их геометрического эффекта не требуется, а влияние поляризуемости связи C-X на изменение  $T_C$  (п.2.1, рис.2) исключается при анализе пар соединений, удовлетворяющих специальным требованиям. I). Несимметричные молекулы, отличающиеся положением двух разных или одинаковых терминальных заместителей. Из результатов п.7.3.1

следует, что в этом случае для анализа целесообразно выбирать донорные заместители различной силы, либо доноры в сочетании с галогенами, не оказывающими заметного влияния на  $\varphi_N$ . В качестве примера рассмотрим пары соединений 136, 137 и 138, 139 [34].



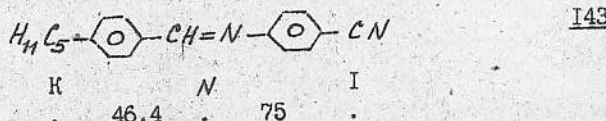
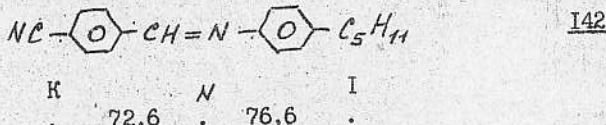
Для каждой из этих пар увеличение  $\varphi_N$  за счет ослабления донорных свойств заместителя в анилиновом кольце ведет к уменьшению  $T_{NI}$ . Для переходов N-I (136, 137) и S<sub>A</sub>-I (138, 139) значения  $\Delta T_c/\Delta Q = 20^\circ$  и  $24,7^\circ$  близки между собой в отличие от соединений 54, 58.

При замещении молекулы донором и акцептором полярное сопряжение между ними может приводить к образованию димеров, стабильность которых зависит от ориентации связи C-H азометинового мостика по отношению к полярному акцепторному заместителю. Для пары соединений 140 и 141 [34]

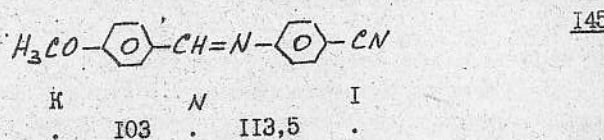
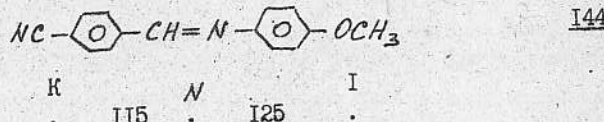


акцепторный заместитель в анилиновом кольце снижает температуру плавления, но повышает  $T_{N\bar{I}}$  несмотря на увеличение  $\varphi_N$ . По аналогии с полярными соединениями 79, 84 и 85 это можно объяснить более слабым перекрытием остатков 141 и, следовательно, большей длиной димеров из-за ориентации связи C-H азометинового мостика в направлении заместителя  $C=N$ .

Стабилизация димеров за счет удлинения алкильной цепочки в соединениях 142 и 143 [34]

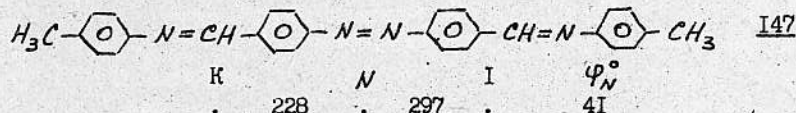
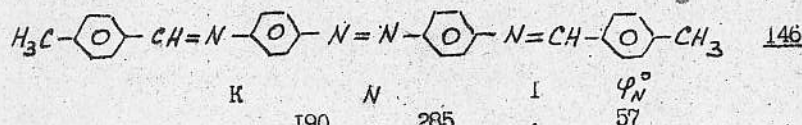


или за счет усиления сопряжения с более сильным донором в соединениях 144 и 145 [34]

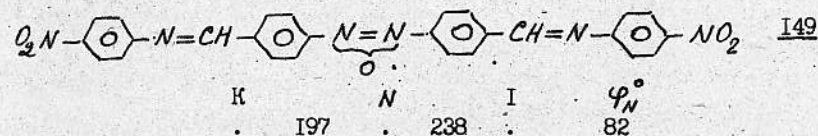
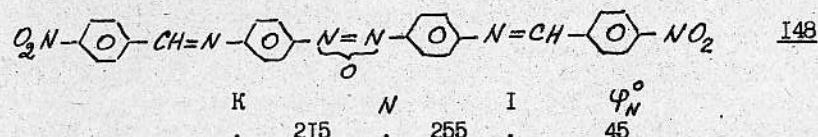


приводит к ослаблению влияния ориентации связи C-H на димеризацию молекул и снижению  $T_{N\bar{I}}$  при замещении анилинового кольца акцептором  $C=N$ .

2). Симметричные молекулы с одинаковыми терминальными заместителями, отличающиеся ориентацией мостика  $-N=CH-$ . В качестве примера можно привести пары 4-кольчатах соединений 146 и 147 [34] с донорными заместителями



и соединений 148 и 149 [34] с сильными акцепторными заместителями.



В обоих парах наблюдается закономерное уменьшение температур плавления и  $T_{N\bar{I}}$  с ростом  $\varphi_N$ . Соединения 146-149 имеют по две невзаимодействующие степени свободы на молекулу. При делящиеся на одну степень свободы параметры  $\Delta T_{N\bar{I}}/\Delta Q = 22^{\circ}$  (146, 147) и  $18^{\circ}$  (148, 149) хорошо согласуются с найденными выше для соединений 136-139, что свидетельствует о независимости стерического эффекта терминальных заместителей в азометинах от размеров молекулярного острова, что выше отмечалось и для соединений 52-68.

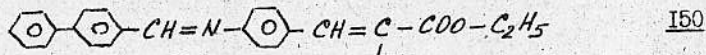
С учетом значения  $\Delta T_{N\bar{I}}/\Delta Q$  для соединений 134, 136-139 и 146-149 можно заключить, что средняя величина этого параметра для рассматриваемой степени свободы азометинов равна  $\approx 22^{\circ}$ , и близка к аналогичной величине для соединений 64-69. Для исследованных здесь соединений 136-139 и 146-149 зависимость (26)  $T_c(Q)$  выполняется для перехода  $N-I$  во всем интервале изменения  $Q=0-I$ , как и для соединений 52-68, однако механизмы изменения  $Q$  в этих случаях совершенно разные. Это подтверждает универсальный характер зависимости (26).

Следует отметить, что при стерическом эффекте терминальных заместителей всегда наблюдается снижение температуры плавления с увеличением  $\varphi_N$ , причем, как правило, более сильное, чем снижение температуры  $T_{N\bar{I}}$ . Это отмечалось ранее для ряда 4-алкоксибензилиден-4-алкиланилинов [14] и хорошо видно на примере соединений 136-149.

#### 7.5. Прямой и косвенный эффекты $\alpha$ -заместителя в терминальном мостиковом фрагменте

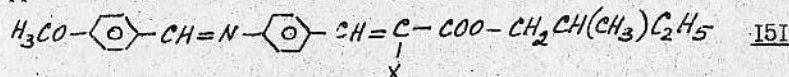
Предсказанное выше (п. 7.1.4) взаимодействие конформационных степеней свободы в молекулах с фрагментом II4 реализуется среди извест-

ных мезогенов [34] для случая акцепторного фрагмента  $R$ . Прямой стерический эффект заместителя X в соединении 150 [34],

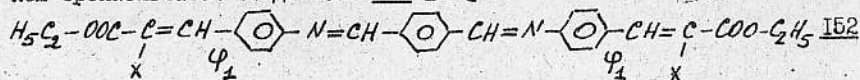


X	K	$S_E$	$S_B$	$S_A$	N	I	$\Delta T_{NI}(H-X)$
H	.	143,3	(. 121)	181,9	211,3	217	
$\text{CH}_3$	.	123	-	148	151	174	43

увеличивая угол  $\varphi_I$ , приводит к гораздо меньшему значению  $\Delta T_{NI}(H-X)$  по сравнению с величиной  $\Delta T_{NI}=63,2^\circ$ , приходящейся на одну степень свободы в соединении 69 ( $n=2$ ). Это несоответствие объясняется косвенным стерическим эффектом заместителя X, т.е. уменьшением угла  $\varphi_N$  и вызванной этим частичной компенсацией изменения  $T_{NI}$ . Аналогичный эффект наблюдается в соединении 151 [34],



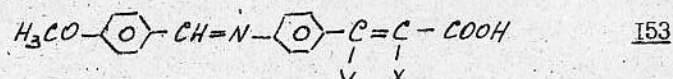
где замена X=H на  $\text{CH}_3$  приводит к снижению  $T_{NI}$  только на  $33^\circ$ . Та же величина  $\Delta T_{NI}(H-X)$  приходится на одну степень свободы в симметричном трехкольчатом соединении 152 [34].



X	K	$S_A$	N	I	$\Delta T_{NI}(H-X)$
H	.	230	305	-	
$\text{CH}_3$	.	190	229	238	67

Отметим, что здесь на две степени свободы  $\varphi_1$  приходится то же значение  $\Delta T_{NI}$ , что на одну степень свободы в соединении 69.

Замена слабой акцепторной группы  $\text{COOC}_{n+2}\text{H}_{2n+1}$  более сильным акцептором  $\text{COOH}$  в ряду (7) при переходе от соединений 150–152 к соединению 153 [34]



X	Y	K	N	I	$\Delta T_{NI}(H-X)$
H	H	.	208	265	
H	$\text{CH}_3$	.	170	240	25
$\text{CH}_3$	H	.	180	265	0

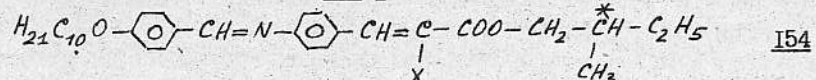
приводит к усилению косвенного стерического эффекта заместителя X и результирующей полной компенсации прямого стерического и геометричес-

кого эффектов этого заместителя. Подчеркнем, что прямой стерический эффект заместителя X в соединениях 64–69 характеризуется близкими значениями  $\Delta T_{CS}(H-X)$  (рис.7). Интересно также отметить, что переход от Y-замещения 153 с чисто геометрическим эффектом заместителя, снижающим температуры плавления и  $T_{NI}$ , к X-замещению сопровождается симметричным возрастанием этих температур за счет более сильного проявления косвенного стерического эффекта заместителя X. Таким образом, учет взаимодействия конформационных степеней свободы в азометинах позволяет объяснить "аномальное" изменение термостабильности соответствующих соединений при их замещении. Для количественной интерпретации совместного влияния прямого и косвенного стерических эффектов заместителей на температуры переходов I–N– $S_A$ – $S_C$  необходимо обобщение подхода [18, 19] с учетом взаимодействия внутримолекулярных степеней свободы между собой.

#### 7.6. Стерический эффект заместителей в смектиках С

Большой интерес представляет влияние прямого и косвенного стерических эффектов заместителя X в азометинах на термостабильность, ширину температурного интервала смектических фаз С и  $C^*$ , а также на их физические свойства, в частности, величину спонтанной поляризации  $P_C$  сегнетоэлектрических смектиков С, поскольку фрагмент 114 входит в ароматический остов многих известных в настоящее время смектогенов с фазами С и  $C^*$ .

#### Замещение соединения 154 [34, 158–160]



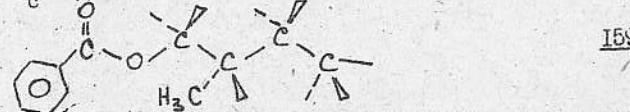
X	K	$S_B$	$S_C^*$	$S_A$	I	$P_C$ , нК/см <sup>2</sup>
H	.	76	(. 63)	93	117	5,0
$\text{CH}_3$	.	45	-	68	98,5	-
$\text{Cl}$	.	51	-	(. 45)	71	-
$\text{CN}$	.	92	-	(. 70)	104	0,6

приводит к исчезновению моноэпиполой фазы  $S_B$  и более сильному снижению температуры перехода  $S_C^*-S_A$ , чем для перехода  $S_A$ –I. Это согласуется с влиянием геометрического эффекта заместителя  $X_2$  на температуры соответствующих переходов в соединениях 100 и 101, близких по структуре к 154. Однако в случае 154 значения  $\Delta T_C(H-X)$  для переходов  $S_C^*-S_A$ –I значительно меньше, чем для  $X_2$ -замещенных 100, 101 или 26. Это объясняется частичной компенсацией геометрического и прямого стерических эффектов заместителя X его косвенным стерическим эффектом уменьшения  $\varphi_N$ , как и в соединениях 150–153.

Периферийное положение полярного заместителя  $CN$  в осте 154 увеличивает температуру плавления и термостабильность смектических фаз в сравнении с неполярными заместителями, как и для соединений 27-31. Увеличение акопланарности концов фрагмента 154 с анилиновым кольцом делает молекулу менее плоской, что способствует её свободному вращению вокруг продольной оси и приводит к сильному снижению спонтанной поляризации  $P_c$  в смектике  $C^*$ . Связь величины  $P_c$  с ко-планарностью молекулярных фрагментов хорошо видна на примере незамещенных соединений 155-158 [160]

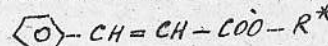
$H_{21}C_{10}O-\text{C}_6\text{H}_4-\text{C}_6\text{H}_4-COO-R^*$	$P_c=12,5 \text{ нК/см}^2$	<u>155</u>
$H_{21}C_{10}O-COO-\text{C}_6\text{H}_4-\text{C}_6\text{H}_4-COO-R^*$	5,0	<u>156</u>
$H_{21}C_{10}O-\text{C}_6\text{H}_4-COO-\text{C}_6\text{H}_4-COO-R^*$	5,0	<u>157</u>
$H_{21}C_{10}O-\text{C}_6\text{H}_4-COO-\text{C}_6\text{H}_4-O-R^*$	2,5	<u>158</u>

с хиральным фрагментом  $R^* = -CH_2CH(CH_3)C_2H_5$ . В смектике  $C^*$  бифенильный осте более плоский, чем эфирный или азометиновый. Связанный с оством фрагмент COO в 155 копланарен с фенильным кольцом. Максимальная копланарность молекулы 155 приводит к большей заторможенности её вращения вокруг длинной оси в низкосимметричной фазе  $C^*$  и большему значению  $P_c$ . Действительно, при транс-конформации



фрагмента  $R^*$  все атомы C и O лежат в плоскости листа, совпадающей с плоскостью  $\ell_n$ , образованной продольной осью молекулы  $\ell$  и нормалью  $n$  к смектическому слою. Вектор  $P_c$  в этом случае перпендикулярен плоскости  $\ell_n$  и величина  $P_c$  имеет максимальное значение.

В молекуле 156 плоскость фрагмента  $H_{21}C_{10}COO$  перпендикулярна плоскости связанного с ним бензольного кольца, и молекула состоит из трех некопланарных фрагментов. В молекуле 157 плоскость фрагмента 159 перпендикулярна плоскости оствальной части молекулы. Аналогичная ситуация характерна для незамещенного соединения 154, где из-за акцепторных свойств группы COO плоскость фрагмента



развернута на угол  $\approx 70^\circ$  (III) относительно плоскости оствальной части молекулы. Эта некопланарность молекулярных фрагментов приводит к уменьшению проекции  $P_c$  на нормаль к плоскости  $\ell_n$ , а также к более свободному продольному вращению молекулы. В результате значение  $P_c$  уменьшается.

Зреход от 157 к 158 приближает форму фрагмента, связанного с  $\ell$ , к стержнеобразной и приводит к снижению  $P_c$ . Анализ соединений 154-158 свидетельствует также о слабом влиянии числа и типа полярных фрагментов (COO, CH=N, CN и т.п.) на величину  $P_c$ , которая в большей степени определяется дипольным моментом самого хирального фрагмента. Введение атома Cl вместо CH<sub>3</sub> во фрагмент R\* соединения 154 (X=H) увеличивает  $P_c$  в несколько раз [158, 160].

Дополнительным фактором роста  $P_c$  может быть усиление копланарности молекулярных фрагментов за счет использования донорных терминалных заместителей анилинового кольца в азометинах, либо использование молекул с более плоскими ароматическими оствами.

#### ЗАКЛЮЧЕНИЕ

Проведенный выше анализ более 500 немезогенных и мезогенных соединений показывает важную роль стерического эффекта заместителей в изменении целого комплекса молекулярных свойств, оказываемых существенное влияние на мезоморфные свойства молекул, что проявляется в изменении фазовой диаграммы ЖК, температур фазовых переходов и интервалов существования отдельных термотропных фаз. Подтвержденная на большом числе ЖК различных химических классов универсальная зависимость [18, 19]

$$T_c(Q) = T_c(0) + A Q_L$$

температур фазовых переходов I-N(C<sub>4</sub>)-S<sub>A</sub> от конформационного параметра  $Q = \cos^2 \varphi$  решает проблему стерического эффекта заместителей в сопряженных мезогенах, поставленную Вейгандом около 40 лет назад [7]. Втечение этого времени стерический эффект заместителей прошел естественный путь развития от объекта чисто научных исследований до практической реализации в управлении температурами фазовых переходов и получении жидкокристаллических материалов с рекордно низкими по температуре границами существования нематической фазы и хорошими технологическими характеристиками для использования в электрооптических устройствах отображения информации [5, 6].

Можно ожидать дальнейшего развития этих исследований в нескольких направлениях. Использование стерического эффекта заместителей в

молекулах красителей может привести к оптимизации цветовых и контрастных характеристик электрооптического эффекта "гость-хозяин". Имеющаяся на сегодняшний день информация показывает возрастание параметра ориентационного порядка молекул красителей с бифенильным фрагментом в остеове за счет стерического эффекта орто-заместителей [161]. Наметившаяся в последнее время тенденция к изучению и использованию композитных материалов (ЖК+краситель с большой концентрацией, ЖК + полимер ит.п.) позволяет использовать стерический эффект заместителей в одном из компонентов аналогично [5,6] для управления термодинамическими и физическими параметрами композита.

Более широкого применения стерического эффекта следует ожидать в оптимизации положения и ширины интервала холестерической фазы в чистых и примесных ЖК, в управлении величиной и температурной зависимостью шага спирали.

Стерический эффект заместителей является частью более общей проблемы взаимодействия параметров порядка различных фаз ЖК с внутримолекулярными степенями свободы. Здесь предстоит исследовать влияние этого взаимодействия на конформации молекул и степень их упорядоченности, период надмолекулярных структур в ЖК, характер фазовых переходов, топологию фазовой диаграммы в окрестности пересечения линий нескольких фазовых переходов и другие вопросы. Обнаруженные недавно эффекты температурной инверсии знака холестерической спирали [162-164] и спонтанной поляризации  $P_c$  смектиков С\* [160, 165-167], а также аномальные температурные зависимости  $P_c(T)$  в целом ряде объектов [167, 168] обусловлены проявлением внутримолекулярных конформационных степеней свободы, сравнимым с эффектами межмолекулярных взаимодействий. В этом, в частности, состоит и важный практический аспект решения поставленных выше вопросов.

Наконец, интересных следствий стерического эффекта заместителей следует ожидать в жидкокристаллических полимерах, содержащих в основной или боковых цепях мезогенные бифенильный, стильбеновый, азометиновый и другие фрагменты [169].

Автор признателен участникам Всесоюзного семинара по химии и термодинамике ЖК за обсуждение данной работы.

## ЛИТЕРАТУРА

1. Gray G.W.// *Molecular structure and properties of liquid crystals.* Acad.Press. N.-Y.-London, 1962, 314 p.
2. Коншев Е.И., Блинов Л.М., Титов В.В.// Успехи химии, 1977, 46, 753.
3. Young W.R., Aviram A., Cox R.J.// *Angew. Chem. Internat. Edit.*, 1971, 10, 410.
4. Young W.R., Aviram A., Cox R.J.// *J.Am.Chem.Soc.*, 1972, 94, 3976.
5. Balkwill P., Bishop D., Pearson A., Sage I.// *Mol.Cryst.Liq.Cryst.*, 1985, 123, 1.
6. McDonnell D.G., Rayens E.P., Smith R.A.// *Mol.Cryst.Liq.Cryst.* 1985, 123, 169.
7. Wiegand Ch.// *Z.Naturforsch.*, 1951, 6b, 240; *Angew.Chem.*, 1957, 63, 127.
8. Brown G.H., Shaw W.G.// *Chem.Rev.*, 1957, 57, 1049.
9. Усольцева В.А., Чистяков И.Г.// Успехи химии, 1963, 32, II24.
10. De Jeu W.H., Van der Veen J.// *Philips Res.Repts.*, 1972, 27, 172.
- II. Gray G.W.// *Liquid Crystals and Plastic Crystals*, Ed's. G.W.Gray and P.A.Winsor, Ellis Horwood Publ., London, 1974, 4, 103.
12. Gray G.W.// *Advances in Liquid Crystals*, Ed. G.H.Brown, Plenum Press, N.-Y.-London, 1976, 2, 316.
13. Майдаченко Г.Г., Смирнов Р.П., Калинникова Т.Е., Котович Л.Н.// Жидкие кристаллы, Изд. ИвГУ, Иваново, 1978, с.132.
14. Болотин Б.М., Лосева М.В.// Жидкие кристаллы, под ред. С.И.Данона, Наука, М., 1979, с.9.
15. Gray G.W.// *Molecular physics of liquid crystals*, Ed's G.R.Luckhurst and G.W.Gray, Acad. Press, N.-Y.-London, 1979, ch's 1 and 12.
16. Америк Ю.Б., Кренцель Б.А.// Химия жидких кристаллов и мезоморфных полимерных систем, Наука, М., 1981, 288с.
17. Gray G.W.// *Phil.Trans.R.Soc.Lond.*, 1983, A309, 77.
18. Аверьянов Е.М.// Препринт ИФ СО АН СССР №186Ф, Красноярск, 1982, 32с.
19. Аверьянов Е.М.// *ФТТ*, 1982, 24, 2839; 1983, 25, 293.
20. Dong R.J., Tomchuk E., Waid C.G., Visitsainer J.J., Bock E.// *J.Chem.Phys.*, 1977, 66, 4121.
21. Dianoux A.J., Volino F.// *J.de Phys.*, 1980, 41, 1147.
22. Аверьянов Е.М., Жуков В.А., Ароменас П.В.// Письма ЖЭТФ, 1981, 33, 262; ЖЭТФ, 1981, 81, 210.

23. Volino F., Martins A.F., Dianoux A.J.// Mol.Cryst.Liq.Cryst., 1981, 66, 37.
24. Аверьянов Е.М., Зырянов В.Я., Жуйков В.А., Руолене Ю.И.// ЖСХ, 1983, 24, 105, 101.
25. Fearon J.E., Gray G.W., Ifill A.D., Toyne K.J.// Mol.Cryst. Liq.Cryst., 1985, 124, 89.
26. Gray G.W., Lacey D., Stanton J.E., Toyne K.J.// Liq.Cryst., 1986, 1, 407.
27. Gray G.W.// Wiss.Beritr.M.-Luther Univ.Halle-Wittenberg, 1986, N 17, 22.
28. Dunmur D.A., Hitchen D.A., Xi-Jun Hong // Mol.Cryst.Liq.Cryst., 1986, 140, 303.
29. Byron D.J., Lacey D., Wilson R.C.// Liquid Crystal and Ordered Fluids, Ed.A.Griffin, Plenum Press, N.-Y.-London, 1984, 745.
30. Osman M.// Z.Naturforsch., 1983, 38a, 693.
31. Адоменас П.В.// ЖВХО, 1983, 28, 99.
32. Абдулин А.З., Безбородов В.С., Минько А.А., Рачкевич В.С.// Текстурообразование и структурн і упорядоченность в жидкіх кристаллах, Минск, Изд. Университетское, 1987, 176с.
33. Averyanov E.M.// Liq.Cryst., 1987, 2, 491.
34. Demus D., Demus H., Zaschke H.// Flüssige kristalle in Tabellen, Veb.Deutscher Verlag, DDR, 1974, 1; 1984, 2.
35. Gransbergen E.F., De Jeu W.H., Als-Nielsen J.// J.de Phys., 1986, 47, 711.
36. Герасимов А.А., Лисецкий Л.Н.// ФТТ, 1983, 25, 872.
37. Demus D., Hanser A., Selbman Ch., Weissflog W.// Cryst.Res. and Technol., 1984, 19, 271.
38. Osman M.// Mol.Cryst.Liq.Cryst., 1985, 128, 45.
39. Weissflog W., Demus D.// Cryst.Res.Techmol., 1984, 19, 55.
40. Осинов О.А., Минкин В.И., Гарновский А.Д.// Справочник по дипольным моментам, Высшая школа, М., 1971, 416с.
41. De Jeu W.H., Van der Veen J.// Mol.Cryst.Liq.Cryst., 1977, 40, 1.
42. Аверьянов Е.М.// ЖФХ, 1985, 59, 2145.
43. Торгова С.И., Лазарева В.Т., Титов В.В., Болотин Б.М.// Жидкие кристаллы и их практическое применение, Изд. ИвГУ, Иваново, 1976, с.130.
44. Van der Veen J., Hegge T.C.J.M.// Angew.Chem., 1974, 86, 378.
45. Kelker H., Schuerle B., Hatz R., Barschw.// Angew.Chem., 1972, 82, 984.
46. Черкашина Р.М.// Автореф. дисс. ... канд. хим. наук, 1983, ХГУ, Харьков.
47. Maier W., Saupe A.// Z.Naturforsch., 1959, 14A, 882; 1960, 15A, 287.
48. Kaplan J.I., Drauglis E.// Chem.Phys.Lett., 1971, 2, 645.
49. De Jeu W.H., Van der Veen J., Goosens J.A.// Solid State Comm., 1973, 12, 405.
50. Van der Veen J.// J.de Phys., 1975, 26, 61-375.
51. riffin A.C.// Mol.Cryst.Liq.Cryst.Lett., 1976, 34, 111.
52. Van Metter J.P., Klauderan B.H.// Mol.Cryst.Liq.Cryst., 1973, 22, 285.
53. Schroeder J.P., Bristol D.W.// J.Org.Chem., 1973, 38, 3160.
54. Свердлова О.В.// Электронные спектры в органической химии, Химия, Л., 1985, 248с.
55. Марелл Дж., Кеттл С., Теддер Дж.// Теория валентности, Мир, М., 1968, 380с.
56. Пальм В.А.// Основы количественной теории органических реакций, Химия, Л., 1977, 420с.
57. Dabrowski R., Zutynski E.// Biul.Woisk.Acad.Techn. (Poland), 1981, 30, 143, 161.
58. Pohl L., Eidenschime R., Krause G., Erdman D.// Phys.Lett., 1977, 60A, 421.
59. Pohl L., Eidenschime R., Krause G., Weber G.// Phys.Lett., 1978, 65A, 169.
60. Dunmur D.A., Tomes A.E.// Mol.Cryst.Liq.Cryst., 1983, 97, 241.
61. Аверьянов Е.М., Адоменас П.В., Жуйков В.А., Зырянов В.Я., Шабанов В.Ф.// ЖЭТФ, 1984, 87, 1686.
62. Вукс М.Ф., Рождественская Н.Б., Эйднер К.// Опт. и спектр., 1978, 45, 914.
63. Эйднер К., Вукс М.Ф.// Опт. и спектр., 1978, 45, 697.
64. Wepster B.M.// Progress in stereochemistry, ed's Klyne W., De la Mare P.B.D., Butterworths, Acad.Press, London, 1958, 2, 99.
65. Хигаси К., Баба Х., Рембаум А.// Квантовая органическая химия, Мир, М., 1967, гл.8, с.170.
66. Everard K.B., Sutton L.E.// J.Chem.Soc., 1951, 625, 2818.
67. Schad H., Osman M.A.// J.Chem.Phys., 1981, 75, 880.
68. Carr N., Gray G.W., Kelly S.M.// Mol.Cryst.Liq.Cryst., 1981, 66, 267.
69. Gray G.W.// Mol.Cryst.Liq.Cryst., 1981, 63, 3.
70. Suzuki H.// Electronic absorption spectra and geometry of organic molecules, Acad.Press, N.-Y.-London, 1967, Ch's 9,12,14,15.
71. Jaffe H.H., Orchin M.// Theory and applications of ultraviolet spectroscopy, J.Wiley & Sons, N.-Y.-London, 1964, Ch.15, pp.384-449.

72. Зайцев Б.А.// Изв. АН СССР, Сер. хим., 1973, 9, 1968.
73. Зайцев Б.А., Храмова Г.И.// Изв. АН СССР, Сер. хим., 1974, 12, 2722.
74. Кутуля Л., Черкашина Р., Тищенко В., Хандричайлова Т.// Жидкие кристаллы, Изд. ИрГУ, Иваново, 1985, с.100.
75. McRay E.G., Goodman L.// J.Chem.Phys., 1958, 29, 334.
76. Everard K.B., Sutton L.E.// J.Chem.Soc., 1951, 626, 2821.
77. Straley J.P.// Phys.Rev.A, 1974, 10, 1881.
78. Gelbart W.M., Barboy B.// Mol.Cryst.Liq.Cryst., 1979, 55, 209; Acc.Chem.Res., 1980, 13, 290.
79. Mudler B.M., Ruijgrok Th.W.// Physika, 1982, 113A, 145.
80. Герасимов А.А.// УФН, 1982, 27, 1314.
81. Luckhurst G.R., Zannoni C., Nordio P.L., Segre U.// Mol.Phys., 1975, 30, 1345.
82. Bergensen B., Palfy-Muhoray P., Dummur D.A.// Mol.Cryst.Liq.Cryst., in press.
83. Emsley J.W., Luckhurst G.R., Stockley G.P.// Mol.Phys., 1981, 44, 565.
84. Kiefer R., Baur G.// X-th Int.Liq.Cryst.Conf., York, England, 1984, Abstract A10.
85. Анисимов М.А., Городецкий Е.А., Запрудский В.М.// УФН, 1981, 133, 103.
86. Анисимов М.А.// Критические явления в жидкостях и жидких кристаллах, Наука, М., 1987, 272 с.
87. Walz L., Noveau F., Hanse W.// Mol.Cryst.Liq.Cryst., 1987, 148, 111.
88. Takenaka S., Koden M., Kusabayashi S.// J.Phys.Chem., 1986, 90, 660.
89. Галатин А.И., Деркач Л.Г., Крамаренко Н.Л., Цигулева О.М., Шкараба Н.М.// Кристаллография, 1984, 29, III4.
90. Дащевский В.Г.// Конформационный анализ органических молекул, Химия, М., 1982, 272 с.
91. Gray G.W.// Proc.R.Soc.Lond.A, 1985, 402, 1.
92. Авоян Р.Л., Стручков Ю.Т., Дащевский В.Г.// ЖХХ, 1966, 7, 289.
93. Schmid E.D., Tompson R.D.// J.Raman Spectrosc., 1983, 14, 191.
94. Field L.D., Sternell S., Tracey A.S.// J.Am.Chem.Soc., 1977, 99, 5249; 1981, 103, 738.
95. Gray G.W. (editor)// Steric effects in conjugated systems, Butterworth, London, 1958.
96. Littlejohn A.C., Smith J.W.// J.Chem.Soc., 1953, 2456; 1954, 2552.
97. Modelli A., Distefano G., Jones D.// Chem.Phys., 1983, 82, 489.
98. Maier J.P., Turner D.W.// Faraday Discussion Chem.Soc., 1973, A5, 149.
99. Smare D.L.// Acta Cryst., 1948, 1, 150.
100. Ommeling G., Seip H.M., Aanessen Fyomo A.M.// Acta Chem.Scand.A, 1974, 28, 507.
101. Redersen B.F.// Acta Cryst., 1975, B31, 2931.
102. Bastiansen O.// Acta Chem.Scand., 1950, 4, 926.
103. Брайан Р.Ф.// ЖХХ, 1982, 23, №1, 154.
104. Warner M.// J.Chem.Phys., 1980, 73, 5874; Mol.Cryst.Liq.Cryst., 1981, 80, 79.
105. Першин В.К., Скопинов С.А.// Кристаллография, 1981, 26, 178.
106. Luckhurst G.R.// NMR of liquid crystals, ed.J.W.Emsley, Riedel Publ.C., 1985, ch.3,
107. De Jeu W.H.// Phil.Trans.R.Soc.Lond., 1983, A309, 217.
108. Gelbart W.M.// J.Phys.Chim., 1982, 86, 4298.
109. Van der Meer B.M., Postma F., Dekker A.// De Jeu W.H.// Mol.Phys., 1982, 45, 1227.
110. Блинов Л.М.// Электро- и магнитооптика жидких кристаллов, Наука, М., 1978, 384с.
111. Де Жё В.Г.// Физические свойства жидкокристаллических веществ, Мир, М., 1982, 152с.
112. Leadbetter A.J., Richardson R.M., Colling C.N.// J.de Phys.Colloq. C1, 1975, 36, C1-37.
113. Schad Hp., Osman M.A.// J.Chem.Phys., 1983, 79, 5710.
114. Sasaki M., Takatsu H., Shimamura T., Toriyama K.// Mol.Cryst.Liq.Cryst., 1984, 109, 169.
115. Kelly S.M.// Helv.Chim.Acta, 1984, 67, 1572.
116. Schad Hp., Kelly S.M.// J.de Phys., 1985, 46, 1395.
117. Аверьянов Е.М., Жуйков В.А., Шабанов В.Ф., Адоменас П.В.// Кристаллография, 1982, 27, 333.
118. Вукс М.Ф.// Рассеяние ср. га в газах, жидкостях и растворах, Изд. ЛГУ, Л., 1977, гл.2, с.140.
119. Destrade C., Tinh Nguyen Huu, Gasparoux H.// Mol.Cryst.Liq.Cryst., 1980, 59, 273.
120. Береснев Л.А., Блинов Л.М.// ЖХХ, 1983, 28, 29.
121. LePesant J.P., Perbert J.N., Mourey B., Hareng M., Decobert G., Dubois J.C.// Mol.Cryst.Liq.Cryst., 1985, 129, 61.
122. Coates D.// Liq.Cryst., 1987, 2, 423.
123. Майдаченко Г.Г., Котович Л.Н.// Жидкие кристаллы, Изд. ИрГУ, Иваново, 1987, с.5.

- I24. Аверьянов Е.М., Адсменас П.В., Жуйков В.А., Зырянов В.Я.//  
 ЖЭТФ, 1986, 91, 552.  
 I25. Sadashiva B.K.// Mol.Cryst.Liq.Cryst., 1984, 110, 309.  
 I26. Kalkura A.N., Shashidhar R., Subramanya R.U.N.// J.de Phys.,  
 1983, 44, 51.  
 I27. Измаильский В.А., Федоров Ю.Л.// Азометины. Структура, свойства  
 и применение, под ред. Ю.А.Жданова, Изд. РГУ, Ростов н/Д,  
 1967, с.96.  
 I28. Mizuno M., Shinoda T.// Mol.Cryst.Liq.Cryst., 1981, 69, 103.  
 I29. Braude E.A., Soudheimer F.// J.Chem.Soc., 1955, 3754.  
 I30. Favini G., Bellobono I.R.// Gazz. Chim. Ital., 1966, 96,  
 1423.  
 I31. Gawinecki R.// Polish J.Chem., 1986, 60, 831.  
 I32. Gawinecki R.// Can.J.Spectr., 1986, 31, 59.  
 I33. Shimizu Y., Ikegami A., Nojima M., Kusabayashi S.// Mol.Cryst.  
 Liq.Cryst., 1986, 133, 111.  
 I34. Минкин В.И.// Автореф. дисс. ... докт. физ.-мат. наук, РГУ,  
 Ростов н/Д, 1967.  
 I35. Skrabal P., Steiger J., Zollinger H.// Helv.Chim.Acta, 1975,  
58, 801.  
 I36. Scheuer-Lamalle B., Durocher G.// Can.J.Spectr., 1976, 21, 165.  
 I37. Gawinecki R.// Widomosci Chemiczne, 1977, 31, 685.  
 I38. Gawinecki R., Muzalewski F.// Polish J.Chem., 1980, 54, 1177;  
 1981, 55, 565; 1984, 58, 1091.  
 I39. Гартман Г.А., Пак В.Д.// ЖХХ, 1984, 25, №3, 39.  
 I40. Berges J., Perrin H., Jarfrain M.// Comp.Rend.Acad.Sci.Paris,  
 Ser.C, 1975, 281, 441.  
 I41. Berges J., Perrin H.// J.Mol.Struct., 1981, 76, 299, 375.  
 I42. Bernstein J., Engel Y.M., Hagler A.T.// J.Chem.Phys., 1981,  
75, 2346.  
 I43. Traettenberg M., Hilmo I., Abraham R.J., Ljunggren S.// J.Mol.  
 Struct., 1978, 48, 395.  
 I44. Bürgi H.B., Dunitz J.D.// Helv.Chim.Acta, 1970, 53, 1747.  
 I45. Cotrait M., Pesquer M.// Acta Cryst., 1977, B33, 2826.  
 I46. Cotrait M., Sy D., Ptak M.// Acta Cryst., 1975, B31,  
 1869.  
 I47. Gane P.A.C., Leadbetter A.J.// Mol.Cryst.Liq.Cryst., 1981, 78, 183.  
 I48. Gray G.W., Goobdy J.W.// Smectic liquid crystals-textures and  
 structures, Heyden & Son.Inc., Philadelphia, 1984, 166 pp.  
 I49. Rosta L., Kroo N., Dolganov V.K., Pacher P., Simkin V.G.,  
 Török G.Y., Pepy G.// Mol.Cryst.Liq.Cryst., 1987, 144, 297.  
 I50. Lee Y.S., Hsu Y.Y., Dolphin D.// Liquid Crystals and Ordered  
 Fluids, ed's J.F.Johnson and R.S.Porter, Plenum Press, N.-Y.,  
 1974, 2, 357.  
 I51. Hohener A., Müller L., Ernst R.R.// Mol. Phys., 1979, 38,  
 909.  
 I52. Basad J.S.// J.Chem.Phys., 1976, 65, 946.  
 I53. Perrin H., Burges J.// Comp.Rend.Acad.Sci.Paris., Ser.B, 1981,  
294, 1211.  
 I54. Van der Veen J., Grobben A.H.// Mol. Cryst. Liq. Cryst., 1971,  
15, 239.  
 I55. Arora S.L., Ferguson J.L., Saupe A.// Mol. Cryst. Liq. Cryst.,  
 1970, 10, 243.  
 I56. Neubert M.E., Maurer L.J.// Mol.Cryst.Liq.Cryst., 1978, 45, 207.  
 I57. Огородник К.З.// Автореф. дисс. ... канд. физ.-мат. наук, М.,  
 НИОПиК, 1979.  
 I58. Береснев Л.А., Блинов Л.М.// ЖВХ, 1983, 28, 149.  
 I59. Блинов Л.М., Береснев Л.А.// ЖН, 1984, 143, 391.  
 I60. Patel J.S., Goodby J.W.// Optical Engineering, 1987, 26, 373.  
 I61. Ivashchenko H.V., Rumyantsev V.G.// Mol.Cryst.Liq.Cryst.,  
 1987, 150A, 1.  
 I62. Galatina A.I., Gerasimov A.A., Kondratyeva R.N., Kramarenko N.L.,  
 Shkaraba N.M.// 7-th Liq.Cryst.Conf.Soc.Count., Pardubice,  
 ZhSSR, 1987, Abstract A21.  
 I63. Galatina A.I., Gerasimov A.A., Kondratyeva R.V., Kramarenko N.L.,  
 // 7-th Liq.Cryst.Conf.Soc.Count., Pardubice, ZhSSR, 1987, Abs.A22.  
 I64. Лисецкий Л.Н., Герасимов А.А.// ЖХХ, 1987, 61, 2832.  
 I65. Patel J.S., Goodby J.W.// Phil.Mag.Lett., 1987, 55, 283.  
 I66. Patel J.S., Goodby J.W.// J.Phys.Chem., 1987, 91, 5838.  
 I67. Goodby J.W., Chin E., Geary J.M., Patel J.S., Finn P.L.//  
 J.Chem.Soc.Faraday Trans.Part 1., 1987, 83, 3429.  
 I68. Patel J.S., Goodby J.W.// Mol.Cryst.Liq.Cryst., 1987, 144,  
 117.  
 I69. Платэ Н.А., Шибаев В.П.// Трёхмерные полимеры и жидкие  
 кристаллы, Химия, М., 1980, 304с.

## СОДЕРЖАНИЕ

7. СТЕРИЧЕСКИЕ ЭФФЕКТЫ ЗАМЕСТИТЕЛЕЙ В АЗОМЕТИНАХ .....	3
7.1. Конформация и электронная структура производных азометинов .....	3
7.1.1. Орто-замещение анилинового кольца .....	4
7.1.2. $\alpha$ -замещение азометинового мостика .....	7
7.1.3. Влияние электронных свойств терминальных заместителей на конформацию бензилиденанилинового фрагмента ..	7
7.1.4. Взаимодействие конформационных степеней свободы в азометинах .....	8
7.2. Конформация азометинов в конденсированном состоянии ..	10
7.3. Влияние латеральных заместителей на термостабильность нематической фазы .....	13
7.3.1. Геометрический эффект латеральных и $\alpha$ -заместителей	13
7.3.2. Стерический эффект орто- и $\alpha$ -заместителей .....	16
7.4. Стерический эффект терминальных заместителей .....	18
7.5. Прямой и косвенный стericкие эффекты $\alpha$ -заместителей в терминальном мостиковом фрагменте .....	21
7.6. Стерический эффект заместителей в смектиках С .....	23
ЗАКЛЮЧЕНИЕ .....	25
ЛИТЕРАТУРА .....	27

Ответственный за выпуск Аверьянов Е.М.

Подписано в печать II.05 .1988г. АЛ 06147

Усл.печ.л.2,1 Тираж 250 экз. Заказ №277

Отпечатано на ротапринте ИФ СО АН СССР

660036, Красноярск-36, Академгородок